

## 原始惑星系円盤の加熱機構と温度構造

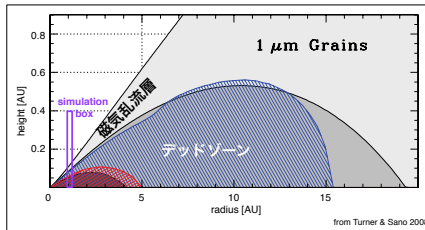
廣瀬 重信 (海洋研究開発機構)

collaboration with Neal Turner (JPL/Caltech), 佐野孝好 (大阪大学)

2011年1月11日  
CfCA Users' Meeting 2010  
国立天文台

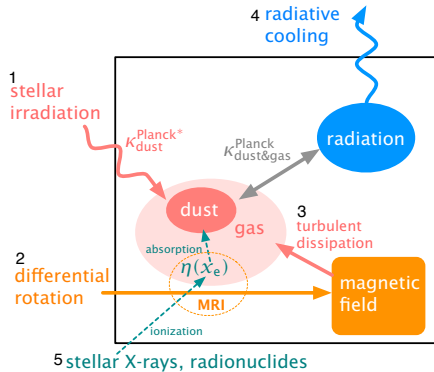
## 本研究の目的とアプローチ

- ▶ 原始惑星系円盤の温度はガス・ダストの進化を理解する上で重要な物理量
- ▶ 原始惑星系円盤の加熱と冷却
  - ▶ 加熱：中心星からの可視光照射 ( $\sim 1 \times 10^5 \text{ erg/cm}^2/\text{s}$ )  
降着エネルギーの散逸 ( $\sim 3 \times 10^{3\sim 4} \text{ erg/cm}^2/\text{s}$ )
  - ▶ 冷却：円盤表面からの赤外輻射
- ▶ 原始惑星系円盤の質量降着
  - ▶  $\dot{M} \sim 1 \times 10^{-8\sim -7} M_{\odot}/\text{yr} \Leftrightarrow \alpha \sim 10^{-3\sim -2}$
  - ▶ 磁気乱流層とデッドゾーンの二層構造



- ▶ 辐射磁気流体力学シミュレーションによる直接数値計算で温度構造を求める
  - ▶ シアリングボックス近似を用いて円盤の一部分(動径スライス)の降着流を再現
  - ▶ 加熱および冷却過程を“第一原理”から計算し (準定常的)熱平衡状態 を求める

# 原始惑星系円盤における熱力学



- ▶ 本数値シミュレーションで取り扱う主な物理過程
- 1. 中心星の可視光照射によるダスト加熱
- 2. 速度シア(重力エネルギーの解放)による磁気乱流の駆動
- 3. リコネクション・ショックによる磁気乱流の散逸とガス加熱
- 4. ダストによる赤外線放射とそれによる円盤ガスの冷却
- 5. 電離平衡(中心星のX線による電離 ⇌ ダストによる自由電子の吸着)

## 基礎方程式

### ▶ 輻射磁氣流体力學方程式

- ▶ エネルギー保存型
- ▶ 輻射場: 周波数平均・制限拡散近似
- ▶ ダスト-ガス間の熱平衡:  $T = T_{\text{dust}} = T_{\text{gas}} (\neq T_{\text{rad}})$
- ▶ thermally averaged opacity: dust & gas mixture (Semenov+ 2003)

$$\frac{\partial \rho}{\partial t} + \nabla \cdot (\rho \mathbf{v}) = 0$$

$$\frac{\partial(\rho \mathbf{v})}{\partial t} + \nabla \cdot (\rho \mathbf{v} \mathbf{v}) = -\nabla p + \frac{1}{4\pi} (\nabla \times \mathbf{B}) \times \mathbf{B} + \frac{\kappa_{\text{dust\&gas}}^{\text{R}} \rho}{c} \mathbf{F}$$

$$\frac{\partial e}{\partial t} + \nabla \cdot (e \mathbf{v}) = -(\nabla \cdot \mathbf{v}) p - (4\pi B - cE) \kappa_{\text{dust\&gas}}^{\text{P}} \rho + \eta \mathbf{j}^2$$

$$\frac{\partial E}{\partial t} + \nabla \cdot (E \mathbf{v}) = -\nabla \mathbf{v} : \mathbf{P} + (4\pi B - cE) \kappa_{\text{dust\&gas}}^{\text{P}} \rho - \nabla \cdot \mathbf{F}$$

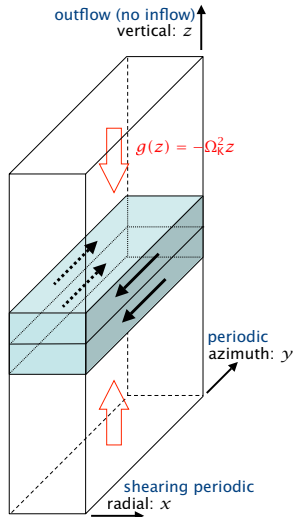
$$\frac{\partial \mathbf{B}}{\partial t} - \nabla \times (\mathbf{v} \times \mathbf{B} - \eta \mathbf{j}) = 0$$

$$\mathbf{F} = -\frac{c\lambda}{\kappa_{\text{dust\&gas}}^{\text{R}} \rho} \nabla E \quad \text{制限拡散近似}$$

# 基礎方程式

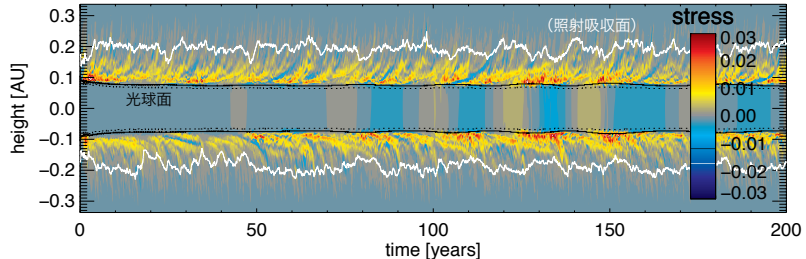
- ▶ 輻射磁気流体力学方程式
  - ▶ エネルギー保存型
  - ▶ 輻射場: 周波数平均・制限拡散近似
  - ▶ ダスト-ガス間の熱平衡:  $T = T_{\text{dust}} = T_{\text{gas}} (\neq T_{\text{rad}})$
  - ▶ thermally averaged opacity: dust & gas mixture (Semenov+ 2003)
- ▶ 電気抵抗(電離度)の計算
  - ▶ 電離源: 中心星からのX線、放射性元素崩壊
  - ▶ simplified recombination network including reactions on grains (Ilgner & Nelson 2006) の平衡解
  - ▶ 上限値:  $5 \times 10^{16} \text{ cms}^{-1} \leftarrow \text{dynamical time step}$  で陽的に解くため
- ▶ ダスト-ガス比
  - ▶ 時間・空間的に一様を仮定
- ▶ 数値解法
  - ▶ MHD (explicit): ZEUS + MOCCT
  - ▶ radiative transfer (implicit): multigrid SOR

# シミュレーション方法



- ▶ シミュレーションボックス
  - ▶ シアリングボックス近似
  - ▶ 中心星 ( $M_* = 0.5M_\odot$ ) からの距離 1AU
  - ▶ 解像度:  $\left(\frac{1H}{32}, \frac{4H}{64}, \frac{10H}{320}\right)$
  - ▶  $H = 0.07\text{AU}$  は、初期静水圧平衡 ( $T = 280\text{K}$ ) のスケールハイツ
- ▶ 中心星からの輻射輸送
  - ▶ 可視光による照射: 吸収のみ ( $T_* = 4000\text{K}$  で平均した Planck mean opacity)
  - ▶ X 線による電離: 散乱を考慮した Igala & Glassgold (1999) をテーブル化
  - ▶ 水平方向に平均した密度分布を用いて計算
- ▶ パラメータ (括弧内は fiducial 計算の値)
  - ▶ 表面密度 ( $1000 \text{ gcm}^{-2}$ )
  - ▶ 垂直磁場強度 (0.02 Gauss)
  - ▶ ダスト-ガス比 ( $1 \times 10^{-4}$ )
    - ▶ dust opacity、放射性元素崩壊による電離率・ダスト表面反応断面積は、この値でスケーリングされる

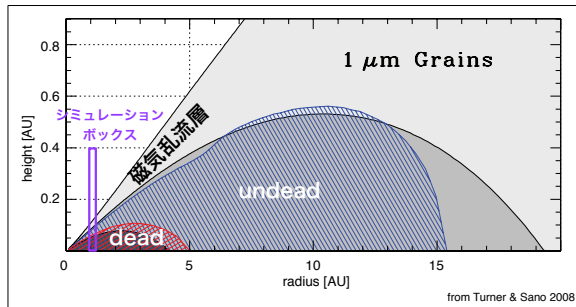
## 磁気ストレス vs. Height and Time



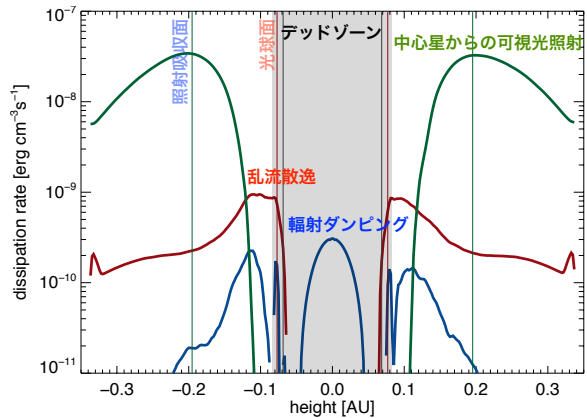
- ▶ 「乱流表層」と「デッドゾーン」の二層構造
  - ▶ “大気”は(中心星からのX線電離により)磁気乱流ストレスが維持される
  - ▶ 電離度が低い“内部”はデッドゾーンとなるが、ストレスはゼロとならない
  - ▶ デッドゾーン境界は、光球面(ダスト-ガス比に依存)にたまたま一致する
- ▶ ストレスの空間積分は質量降着率  $1.4 \times 10^{-8} M_{\odot}/\text{yr}$  に相当
- ▶ 中心星照射の吸収面の位置は磁気乱流の影響で変動する

## 磁気ストレス vs. Height and Time (2)

- ▶ デッドゾーンは、実際は “undead zone” (Turner and Sano 2008)
  - ▶ 磁気乱流はないが、速度シアによる  $B_y$  の増幅によってストレスが働く
    - ▶ 亂流層  $\Rightarrow B_x \Rightarrow$  undead zone  $\Rightarrow B_y \Rightarrow$  亂流層
    - ▶ ただし、これらはおそらく resistivity cap の artifact  
→ 実際の赤道面の resistivity は  $10^{7\sim 8}$  倍大きいので、少なくとも赤道面近傍は、磁気的活動が全くない本当の “dead zone” と推測される

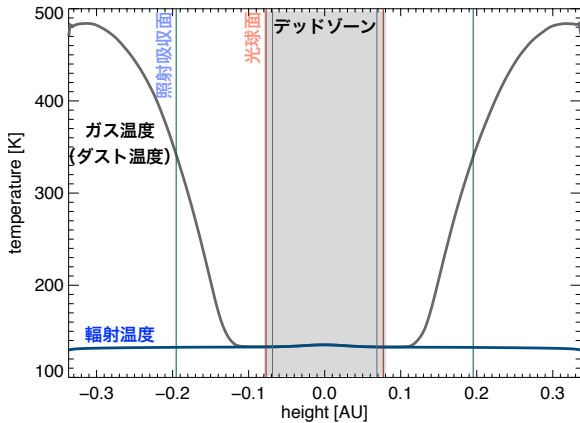


## 加熱率分布



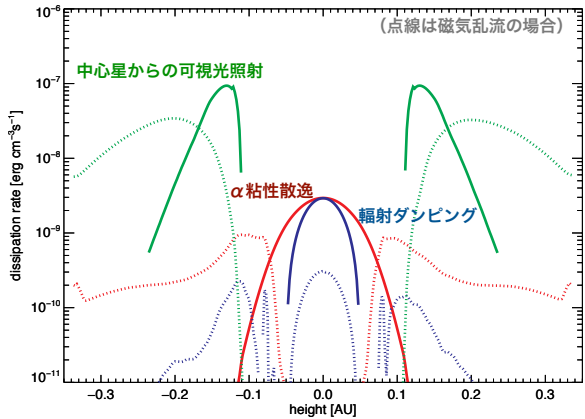
- ▶ 円盤大気では、中心星からの可視光照射が卓越する
  - ▶ しかし、加熱プロファイルは 磁気乱流によるガスの持ち上げ具合 で決まる
- ▶ **円盤大気下部 (デッドゾーン境界) で、乱流散逸が最も効く**
- ▶ 円盤内部 (デッドゾーン) でも 輻射ダンピング による散逸がある
  - ▶ 円盤ガス中の非軸対称音波 (spiral wave) の散逸 (cf. 輻射圧優勢降着円盤)

## 温度分布



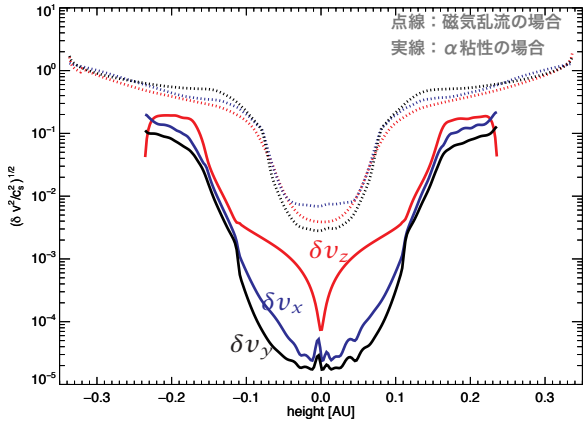
- ▶ (光学的に薄い) 大気の上部は、可視光照射により 500K 程度になる
  - ▶ ダストの可視光吸收効率が赤外線放射効率よりも良いため
- ▶ (光学的に厚い) デッドゾーンは、散逸がほとんどないためほぼ等温 (130K)
  - ▶ 赤道面の小さな バンプ は輻射ダンピングによるもの

## 加熱率分布 ( $\alpha$ 粘性の場合)



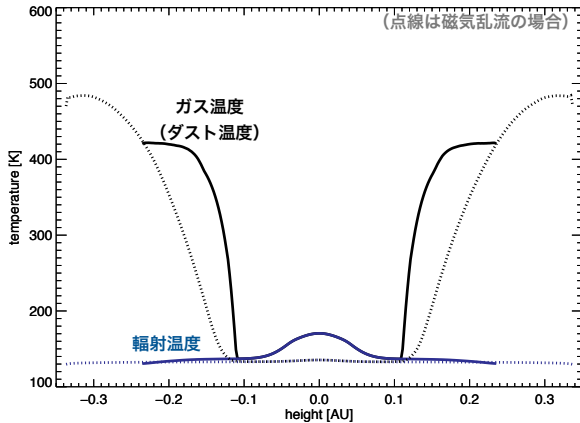
- ▶ 可視光照射はより低い高度で吸収される
  - ▶ 磁気圧による円盤大気のサポートがなくなるため
- ▶  $\alpha$  粘性散逸は赤道面に集中する
  - ▶  $\alpha$  粘性モデルでは、散逸率は密度に比例すると仮定されるため
- ▶ 円盤内部(デッドゾーン)の輻射ダンピングが  $\alpha$  粘性散逸と 同程度 になる
  - ▶ 円盤ガスの垂直方向音波(breathing mode)の散逸

## 速度分散の比較



- ▶ 磁気乱流： $\delta v_x$ 、 $\delta v_y$ 、 $\delta v_z$  は同程度
- ▶  $\alpha$  粘性： $\delta v_z$  が卓越 ⇄ 垂直方向音波 (breathing mode)

## 温度分布 ( $\alpha$ 粘性の場合)



- ▶ 磁気乱流の場合に比べて、赤道面に 40K ほどのバンプが見られる
  - ▶  $\alpha$  粘性散逸が赤道面に集中するため
  - ▶ 輻射ダンピングが赤道面で ( $\alpha$  粘性散逸と同程度に) 効くため
- ▶ 円盤大気の温度は磁場乱流の場合に比べて低くなる
  - ▶ 磁気圧サポートがなく、円盤大気のガス密度が低いため

## まとめ

- ▶ 原始惑星系円盤 (1AU 近傍) の降着流を輻射磁気流体計算を用いて再現しローカルな温度構造  $T(z)$  と質量降着率  $\dot{M} (= 1.4 \times 10^{-8} M_{\odot}/\text{yr})$  を得た
  - ▶ 表面密度 ( $1000 \text{g/cm}^2$ )、垂直磁場強度 (0.02G)、ダスト-ガス比 ( $10^{-4}$ )
- ▶ 降着流は、磁気乱流状態にある“大気”と“内部”(デッドゾーン)の二層構造
  - ▶ 温度は、円盤内部は 130K でほぼ等温、大気上部は 500K 程度になる
- ▶ エネルギー的には中心星の可視光照射が卓越するが、乱流散逸に関しても **磁場を考慮した** 正確な取り扱いが必要
  - ▶ 円盤大気の加熱プロファイル  $\leftarrow$  磁気圧によるガスのサポート
  - ▶ 赤道面の温度  $\leftarrow$  乱流散逸の詳細分布
- ▶ **輻射ダンピング (第二の散逸メカニズム)**
  - ▶ 非軸対称音波の散逸で、特に赤道面近傍で卓越する
  - ▶  $\alpha$  粘性の場合、垂直方向音波散逸で、粘性散逸と同程度になる